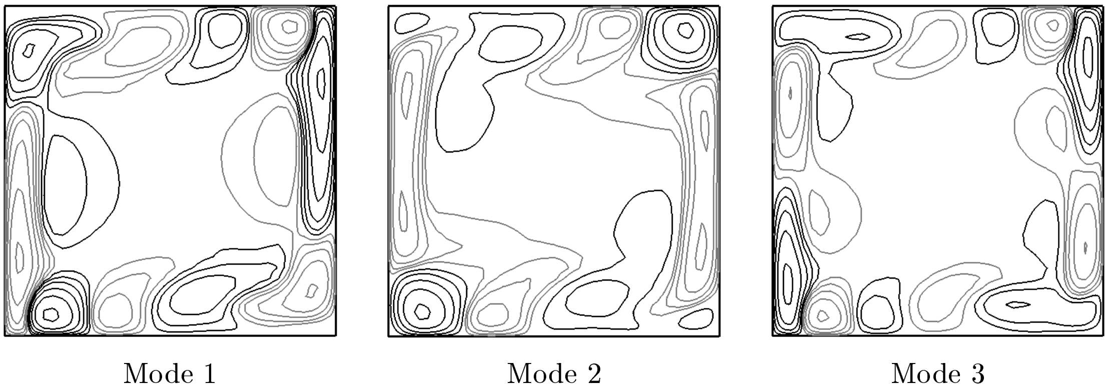

Figure 1 : Les 3 modes 2D oscillatoires les plus instables obtenus pour $Pr = 0.71$ (perturbations de la température).

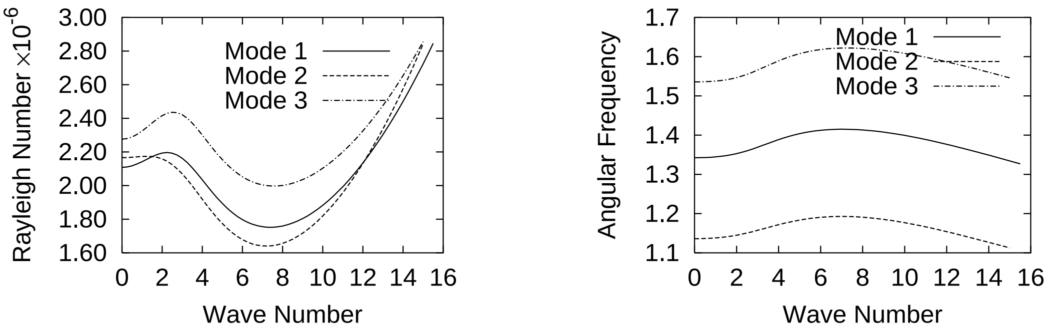

Figure 2 : Courbes neutres construites par continuation à partir des 3 modes 2D les plus instables et les pulsations correspondantes ($Pr = 0.71$).

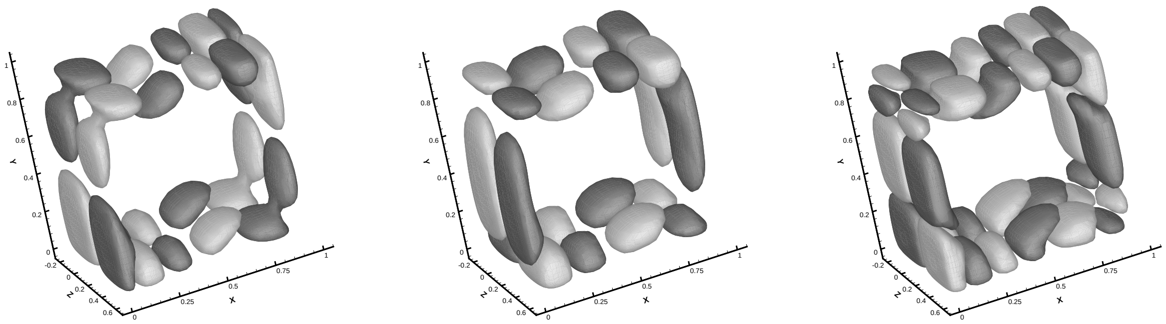

Figure 3 : Distribution spatiale (iso-surfaces de la température, $Pr = 0.71$) des modes propres tri-dimensionnels oscillatoires.

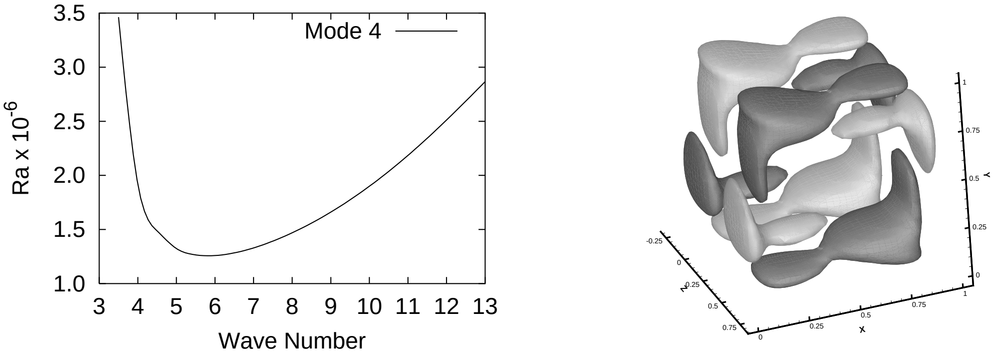

Figure 4 : Courbe neutre du mode 3D stationnaire le plus instable (gauche) et sa distribution spatiale (droite) obtenues pour $Pr = 0.71$.